

01  
**Зависимость самоиндукции тонкой цилиндрической проволоки из металла от механизма поверхностного рассеяния электронов**

© Э.В. Завитаев,<sup>1</sup> К.Е. Харитонов,<sup>1</sup> А.А. Юшканов<sup>2</sup>

<sup>1</sup> Государственный гуманитарно-технологический университет, 142611 Орехово-Зуево, Московская обл., Россия

<sup>2</sup> Московский государственный областной университет, 141014 Москва, Россия  
 e-mail: EduardZavitaev@yandex.ru

Поступило в Редакцию 14 июля 2018 г.

В окончательной редакции 19 ноября 2018 г.

Принято к публикации 3 декабря 2018 г.

Выполнен расчет самоиндукции тонкой цилиндрической проволоки из металла. Рассмотрен общий случай, когда отношение длины свободного пробега электронов к радиусу проволоки может принимать произвольные значения. В качестве граничных условий задачи принято условие, учитывающее зависимость коэффициента зеркальности от дефектов поверхности и угла падения электронов на внутреннюю поверхность проволоки.

DOI: 10.21883/JTF.2019.05.47462.275-18

В последнее время наблюдается растущий интерес к электромагнитным свойствам систем, включающих в себя металлические проволоки малого радиуса [1–5]. Электромагнитные свойства таких систем определяются такими свойствами проволок как электропроводность и индуктивность. Для проволок, радиус которых существенно превышает длину свободного пробега электронов внутри объемного образца, эти характеристики могут быть найдены с использованием макроскопической электродинамики [6].

В то же время электрические свойства проволок, радиус которых сравним с длиной свободного пробега электронов  $\Lambda$ , существенно отличаются от свойств „массивных“ проволок [7–9].

Вопросы, касающиеся расчета электрической проводимости тонкой цилиндрической проволоки из металла, обсуждались в работах [7,9]. Магнитная индукция внутри такой проволоки определялась в работе [9]. В упомянутых работах применяется подход, основанный на решении кинетического уравнения Больцмана, для электронов в металле.

В настоящей работе рассматривается цилиндрическая проволока из немагнитного металла (относительная магнитная проницаемость  $\mu \approx 1$ ) радиуса  $R$  и длины  $D$  (будем считать, что  $D \gg R$ ), к концам которой приложено переменное электрическое напряжение частоты  $\omega$ . Принимается, что направление электрического поля совпадает с осью цилиндра. Скин-эффект не учитывается (предполагается, что  $R < \gamma$  — глубины скин-слоя).

Однородное периодическое по времени электрическое поле, вектор напряженности которого  $\mathbf{E} = \mathbf{E}_0 \exp(-i\omega t)$ , воздействует на электроны проводимости внутри проволоки и вызывает появление внутри нее высокочастотного тока с плотностью  $\mathbf{j}$ .

Проведем расчет самоиндукции, обусловленной магнитным полем внутри проволоки.

Как известно, самоиндукция  $L$  — это коэффициент пропорциональности между магнитным потоком  $\Phi$  и силой тока  $I$ , создающей магнитное поле [6]:

$$\Phi = LI \implies L = \frac{\Phi}{I}. \tag{1}$$

Если тонкую цилиндрическую проволоку разрезать по оси  $OO'$  (рис. 1), то видна элементарная площадка  $dS$ , по которой следует интегрировать при вычислении магнитного потока во внутренней области. На рис. 1 крестиками указано направление силовых линий вектора магнитной индукции  $\mathbf{B}$  при условии, что плотность тока направлена вдоль оси  $Z$ , направление которой совпадает с осью проволоки.

Запишем формулу для расчета магнитного потока  $\Phi$  через элементарную площадку проводника  $dS$ :

$$\Phi = \int B dS,$$

где  $dS = D dr = DR d\delta$ ,  $\delta = r/R$  — „безразмерный радиус индукции“ ( $r$  — радиальная координата электронов).

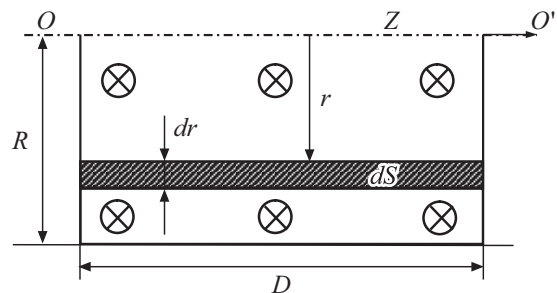


Рис. 1. Область интегрирования при вычислении магнитного потока  $\Phi$  внутри проволоки.

Тогда

$$\Phi = \int_0^1 B(\delta) dS = DR \int_0^1 B(\delta) d\delta. \quad (2)$$

Выражение для магнитной индукции  $B$  внутри проволоки, где в качестве граничного условия используется зависимость коэффициента зеркальности  $q$  от дефектов поверхности  $H$  и угла падения электронов  $\theta$  на внутреннюю поверхность проволоки (модель Соффера), получено в работе [10]. Данное граничное условие можно записать в следующем виде:

$$q(H, \cos \theta) = \exp(-(4\pi H)^2 \cos^2 \theta),$$

$$\cos \theta = \rho \cos \alpha, \quad H = \frac{h_s}{\lambda_F},$$

где  $h_s$  — среднеквадратичная высота поверхностного рельефа,  $\lambda_F$  — длина волны де-Бройля электрона на поверхности Ферми.

Тогда

$$B = \frac{3\mu_0 n e^2 R^2 E_z}{\pi v_F m \delta} \int_0^\delta \int_0^1 \int_0^\pi \frac{\rho \sqrt{1-\rho^2}}{v} \times \left( \frac{\exp(-(4\pi H)^2 \cos^2 \theta) - 1}{1 - \exp(-(4\pi H)^2 \cos^2 \theta)} \exp(-v\eta/\rho) + 1 \right) \xi d\xi d\rho d\alpha, \quad (3)$$

где

$$\xi = \frac{r}{R}, \quad \rho = \frac{v_\perp}{v_F}, \quad v = \left( \frac{1}{\tau} - i\omega \right) \frac{R}{v_F},$$

$$\eta = \xi \cos \alpha + \sqrt{1 - \xi^2 \sin^2 \alpha}, \quad \eta_0 = 2\sqrt{1 - \xi^2 \sin^2 \alpha}$$

Здесь  $\mu_0$  — магнитная постоянная вакуума;  $n, e, m$  — соответственно концентрация, заряд и масса электронов;  $v_\perp$  — радиальная составляющая скорости электронов,  $v_F$  — скорость Ферми;  $\tau$  — электронное время релаксации.

Подставив (3) в (2), получим формулу для вычисления магнитного потока  $\Phi$ :

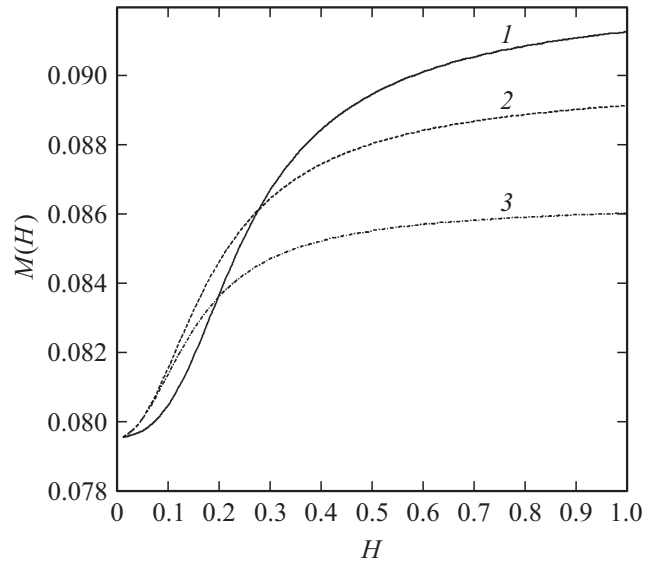
$$\Phi = \frac{\mu_0 n e^2 R^3 E_z D}{v_F m} J_\Phi, \quad (4)$$

где

$$J_\Phi = \frac{3}{\pi} \int_0^1 \int_0^\delta \int_0^1 \int_0^\pi \frac{\xi \rho \sqrt{1-\rho^2}}{\delta v} \times \left( \frac{\exp(-(4\pi H)^2 \cos^2 \theta) - 1}{1 - \exp(-(4\pi H)^2 \cos^2 \theta)} \exp(-v\eta/\rho) + 1 \right) d\delta d\xi d\rho d\alpha.$$

Выражение для силы тока  $I$  через поперечное сечение тонкой цилиндрической проволоки с граничными условиями Соффера было получено в работе [8]:

$$I = \frac{n e^2 R^3 E_z}{v_F m} J_I, \quad (5)$$



**Рис. 2.** Зависимость модуля  $M$  безразмерной самоиндукции от безразмерного „параметра шероховатости поверхности“  $H$  при фиксированном значении безразмерной частоты внешнего поля  $\Omega$  и при различных значениях безразмерной обратной длины свободного пробега электронов  $\Psi$ : 1 — ( $\Omega = 1, \Psi = 0.1$ ), 2 — ( $\Omega = 1, \Psi = 1$ ), 3 — ( $\Omega = 1, \Psi = 3$ ).

где

$$J_I = \int_0^1 \int_0^\delta \int_0^\pi \frac{\xi \rho \sqrt{1-\rho^2}}{v} \times \left( \frac{\exp(-(4\pi H)^2 \cos^2 \theta) - 1}{1 - \exp(-(4\pi H)^2 \cos^2 \theta)} \exp(-v\eta/\rho) + 1 \right) d\xi d\rho d\alpha.$$

Поделив (4) на (5), найдем искомую самоиндукцию  $L$ , обусловленную магнитным полем внутри проволоки

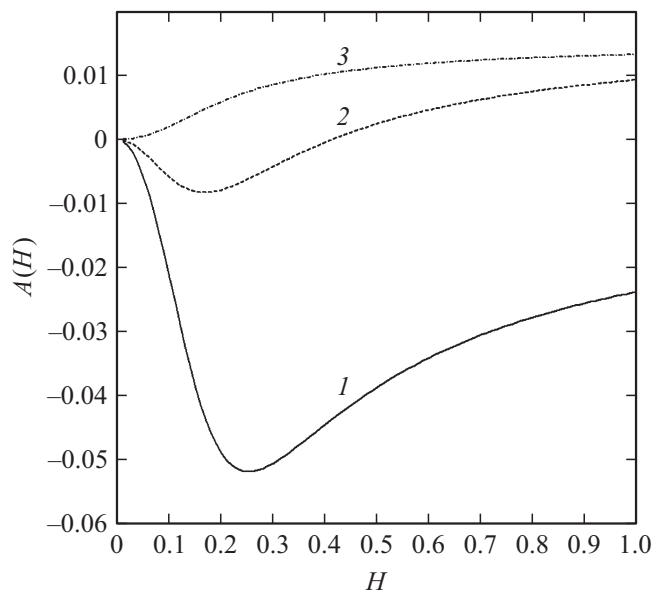
$$L = \mu_0 D \frac{J_\Phi}{J_I}. \quad (6)$$

Следует подчеркнуть, что самоиндукция является комплексной величиной, для которой физический смысл, кроме модуля (абсолютной величины), имеет также и аргумент (фаза), задающий угол между радиус-вектором соответствующей точки и положительной вещественной полуосью в „комплексной плоскости самоиндукции“.

Значимость расчета коэффициента самоиндукции для реальных объектов обусловлена тем, что через него можно определить такую важную величину, как собственная энергия магнитного поля тока [6], необходимую, например, для описания поверхностных плазмонов в цилиндрических проводниках.

Заметим, что самоиндукция, вызванная магнитным полем вне проволоки, не зависит от характера распределения тока по ее сечению и имеет логарифмическую расходимость.

В случае, когда радиус проволоки  $R$  значительно превышает длину свободного пробега электронов  $\Lambda$



**Рис. 3.** Зависимость аргумента  $A$  самоиндукции  $L$  от безразмерного „параметра шероховатости поверхности“  $H$  при фиксированном значении безразмерной частоты внешнего поля  $\Omega$  и при различных значениях безразмерной обратной длины свободного пробега электронов  $\Psi$ : 1 — ( $\Omega = 1, \Psi = 0.1$ ), 2 — ( $\Omega = 1, \Psi = 1$ ), 3 — ( $\Omega = 1, \Psi = 3$ ).

( $R \gg \Lambda$ ), из (6) можно получить макроскопическую асимптотику самоиндукции  $L_m$ , обусловленной магнитным потоком внутри проволоки. После проведения несложных вычислений имеем

$$L_m = \frac{\mu_0 D}{4\pi}.$$

На рис. 2 представлена зависимость модуля  $M$  безразмерной самоиндукции тонкой цилиндрической проволоки  $L/\mu_0 D$  от безразмерного „параметра шероховатости поверхности“  $H$ . Рисунок выполнен для случая фиксированной безразмерной частоты внешнего поля  $\Omega = \omega R/v_F$ , при этом отношение радиуса проволоки к безразмерной обратной длине свободного пробега электронов  $\Psi = R/\Lambda$  разное для каждой кривой. Из анализа хода кривых следует, что с увеличением параметра шероховатости модуль самоиндукции плавно возрастает, достигая своего асимптотического значения, которое определяется безразмерной обратной длиной свободного пробега электронов  $\Psi$ .

На рис. 3 представлена зависимость аргумента  $A$  самоиндукции тонкой цилиндрической проволоки  $L$  от безразмерного „параметра шероховатости поверхности“  $H$ . При этом безразмерная частота внешнего поля  $\Omega$  и безразмерная обратная длина свободного пробега электронов  $\Psi$  для кривых такие же, как на предыдущем рисунке. При условии, что радиус проволоки не превосходит длину свободного пробега электронов ( $R \leq \Lambda$ ) аргумент самоиндукции имеет минимум, который сглаживается по мере увеличения радиуса. Дальнейшее его

увеличение, когда выполняется условие  $R > \Lambda$ , приводит к изменению знака аргумента.

Таким образом, учет зависимости коэффициента зеркальности металла от дефектов поверхности и угла падения электронов на внутреннюю поверхность тонкой проволоки позволяет выявить целый ряд особенностей коэффициента самоиндукции, которые не характерны для макроскопических проволок.

## Список литературы

- [1] *Op't Root W.P.E.M., Brussaard G.J.H., Smorenburg P.W., Luiten O.J.* // Nat. Commun. 2016. Vol. 7. P. 13769.
- [2] *Yang J., Cao Q., Zhou C.* // Opt. Express. 2009. Vol. 17. N 23. P. 20806–20815.
- [3] *Maier S.A., Andrews S.R., Martin-Moreno L., Garcia-Vidal F.J.* // Phys. Rev. Lett. 2006. Vol. 97. P. 176805 (1–4).
- [4] *Manjavacas A., Garcia de Abajo F.J.* // Opt. Express. 2009. Vol. 17. N 22. P. 19401–19413.
- [5] *Neubrech F., Kolb T., Lovrincic R., Fahsold G., Pucci A., Aizpurua J., Cornelius T.W., Toimil-Molares M.E., Neumann R., Karim S.* // Appl. Phys. Lett. 2006. Vol. 89. P. 253104 (1–3).
- [6] *Ландау Л.Д., Лифшиц Е.М.* Электродинамика сплошных сред. М.: Физматлит, 2016. 656 с.
- [7] *Завитаев Э.В., Юшканов А.А.* // Микроэлектроника. 2008. Т. 37. № 6. С. 429–438.
- [8] *Кузнецова И.А., Чапкин А.В., Юшканов А.А.* // Микроэлектроника. 2011. Т. 40. № 1. С. 45–51.
- [9] *Завитаев Э.В., Русаков О.В., Харитонов К.Е.* // Вестник МГОУ. Серия Физика–Математика. 2016. № 2. С. 74–84.
- [10] *Завитаев Э.В., Русаков О.В., Харитонов К.Е.* // Современные проблемы физико-математического образования. Сборник материалов VI Междунар. заочной научно-практической конф. Орехово-Зуево, 12 декабря 2016 г. С. 51–53.